

수용성 폴리파라시클로판류와 약물과의 상호작용 (제1보) 디페닐에테를 골격으로 하는 수용성 폴리파라시클로판류의 설계 및 합성

전인구[†]·이민화*·김신근*
동덕여자대학교 약학과·서울대학교 약학대학*
(1988년 5월 20일 접수)

Interactions between Water-Soluble Polyparacyclophanes and Drugs (I) Design and Synthesis of Water-Soluble Polyparacyclophanes Containing Diphenyl Ether Skeletons

In Koo Chun[†], Min Hwa Lee* and Shin Keun Kim*
Department of Pharmacy, Dongduck Women's University, Seoul 136-130, Korea, and College of
Pharmacy*, Seoul National University, Seoul 151-742, Korea
(Received May, 20, 1985)

A series of novel water-soluble paracyclophanes containing two diphenyl ether skeletons and two bridging aliphatic chains of various length were designed and prepared to develop artificial host compounds which might provide efficient hydrophobic field. They were 1,5,19,23-tetraaza-12,30-dioxa [5,1.5.1] paracyclophane (6), 1,6,20,25-tetraaza-13,32-dioxa[6.1.6.1]paracyclophane (7), 1,7,21,27-tetraaza-14,34-dioxa[7.1.7.1]paracyclophane (8) and 1,8,22,29-tetraaza-15,36-dioxa[8.1.8.1]paracyclophane (9). As the corresponding acyclic analogue, 4,4'-dimethylaminodiphenyl ether (11) was synthesized for the comparative study of further host-guest interaction.

중래 약제학 영역에서 폭넓게 응용되어 온 host 화합물로서는 시클로덱스트린(이하 CyD로 약함)류가 대표적이며 이의 host-guest 상호작용의 특성을 이용하여 의약품, 의약부외품, 식품, 농약 및 살충제 등에서의 이용에 관한 연구가 활발히 진행되어 왔다^{1,2)}.

그러나 β -CyD는 그 포접대상이 넓고 입수가 용이하지만 용해성(1.85 g/100 ml, 25°C)에 난점이 있고 CyD류는 기질포접능($K_d=10^{-2}\sim 10^{-3}$ M)과 內孔의 소수적 환경이 약함과 동시에 CyD류의 친수적인 성질도 이용상의 장애가 되는 수가 있다³⁾. 또한 안전성과 기능성을 겸비하고 생분해가 가능한 CyD 유도체의 개발이 바람직하다^{4,5)}.

흡수촉진과 침투성을 높이기 위해서는 생분해가 가능한 지용성 잔기를 도입시켜야 하고 방출제어와 조직친화성을 지향하기 위해서는 CyD를 고분자체에 조합시킨 CyD polymer의 응용도 기대되나 CyD에는 α -CyD만 하더라도 수산기가 18개 존재하므로 의도한 위치에 적절한 화학적 수식을 가하기가 어렵다³⁾.

CyD류가 약물을 단분자적으로 포접하여 약물의 여러가지 물리화학적 성질을 개선시킴으로써 약제학적 응용성이 확립되어 있음을 고려할 때^{6,7)}보다 선택적이고 결합력이 강한 새로운 host 화합물의 개발은 약제학적 영역에서 매우 중요한 토대가 된다고 생각된다.

[†] 본 논문에 관한 문의는 이 저자에게로.

특정의 기질을 1:1의 몰비로 강하게 포접시키기 위해서는 host 분자는 일정한 구조와 다원적이면서도 집중성이 있는 결합부위를 겸비한 기질 포접의 場을 갖추고 있지 않으면 안된다^{8,9)}. 이러한 조건을 만족시키는 간단한 화합물군으로서 여러 가지 大環狀 화합물이 있다. 지금까지 연구된 인공적 host 화합물로는 CyD류 및 유도체⁷⁾, cycloalkane¹⁰⁾, cyclophane¹¹⁻¹⁵⁾, cyclic peptide¹⁶⁻¹⁸⁾, crown ether, cryptand 및 acyclic ligand 등¹⁹⁻²¹⁾이 있으며 이들중 비교적 일정한 형과 크기의 소수내공을 형성할 수 있는 인공적 host 화합물로는 CyD류, cycloalkane, cyclic peptide 및 paracyclophane 등의 4군이 연구되어 왔다.

cycloalkane과 cyclic peptide는 활성 에스테일에 대하여 기질 선택적인 에스테일 분해반응의 촉진이 인정되고 있으나¹⁸⁾ 기질이 host의 內孔에 포접된다는 사실이 증명된 예는 별로 없다. 또한 이들의 구조는 자유롭게 변화시킬 수 있지만 기본 골격 전체가 flexible 하기 때문에 일정한 구조의 소수내공을 설계하기에 적당한 계라로 할 수 없다. 한편 CyD류의 소수내공은 설계되었다고 하기보다는 오히려 처음부터 결정되어 있기 때문에 內孔의 구조를 자유롭게 변화시킬 수가 없으며 capping이나 치환기의 도입²²⁻²⁴⁾에 의해 內孔의 깊이를 조절할 수 있는 정도이다.

이상과 같은 점들을 고려하여 저자 등은 paracyclophane류(이하 PC로 약함)를 검토하였다. PC는 그 구성성분으로서 *p*-phenylene unit와 methylene unit를 함유하는 완전히 인공적인 환상 host 화합물이다. 이들은 다른 화합물과는 달리 그 구성성분에 *p*-phenylene이라고 하는 rigid한 부분이 함유되어 있어 전체적으로 보다 일정한 구조를 취한다. 따라서 *p*-phenylene unit를 여러 개 함유한 PC를 수용성으로 하면 수용액 중에서 꽤 일정한 구조를 갖는 소수내공이 형성될 것으로 기대된다.

PC 자체는 그 물리적 성질에 대한 흥미로부터 이미 1950년대에 Cram 등²⁵⁾에 의하여 연구정진되었지만 이와 병행하여 포접화합물로서의 기대로부터 guest 분자를 포접할 수 있는 크기의 內孔을 갖는 大環狀 PC에 관한 연구도 행하여 졌다. 또한

p-phenylene unit를 여러 개 함유한 대환상 PC 관한 연구는 1960년대 후반부터 Inazu 등²⁶⁻³⁰⁾ Tabushi 등³¹⁻³³⁾에 의하여 계통적으로 행하여 수종의 PC가 합성되어 그 자체의 물리적 성질 연구되어 대환상 PC의 벤젠환은 [2,2]paracyclophane과는 달리 strain을 받지 않고 평면상이라 점과 용액 중에서는 conformation이 비교적 지롭다는 점이 확인되었다^{27,31,32)}.

PC류의 수용액 중에서 기질포접과 반응가속을 조사하기 위한 계통적 연구가 Tabushi 등^{34,35)}, Murakami 등³⁶⁻³⁹⁾, Sunamoto 등⁴⁰⁾ Hansch 등⁴¹⁾에 의해서 수행되었다. 메칠오렌지 흡수스펙트럼의 변화⁴²⁾, 1-anilinonaphthalene-sulfonate(ANS)의 형광스펙트럼의 변화³⁴⁾가 I류의 존재시 관찰되어 기질포접이 시사되었고 PC류의 수용액 중에서 활성 에스테일의 분해반응 촉진되어 기질 선택성이 인정되었다^{35,42)}.

Murakami 등은 장쇄 알킬기를 갖는 [2 paracyclophane 또는 [10,10]paracyclophane 기본 골격으로 하는 다른 계통의 PC류를 합성하 ANS³⁶⁾ 또는 장쇄 활성 에스테일³⁸⁾과 매우 강한 1 복합체를 형성한다고 보고하였다. 그러나 이 Tabushi 등의 PC류에 비하여 內孔이 flexible 기 때문에 활성 에스테일의 분해반응에 있어서 조성의 크기에 의해서 크게 지배를 받는 등 기질 택성은 보여지지 않는다.

한편 Odashima 등⁴³⁾은 diphenylmethane 환의 골격으로 하여 일정한 형과 크기의 소수내공을 갖는 수용성 PC를 합성하였다. 이들 PC의 수용액중에서 ANS의 형광강도의 변화로부터 ANS가 소수적 환경으로 이행하였거나 conformation의 변화가 있었음을 시사하였고 나프탈 유도체 등과 결정성 복합체를 형성하고 durene의 1:1 포접 복합체의 결정구조를 x-ray crystallography에 의하여 직접 입증하였다⁴³⁾. 또한 NM 스펙트라로부터 2,7-dihydroxynaphthalene(DHN)이 CP의 내공에 특정한 위치관계로 포접되어 있다고 알았다⁴⁴⁾. Soga 등^{45,46)}은 이들 PC의 여러 형태를 계통적으로 만들어 ANS와의 상호작용 통하여 형광강도의 변화로부터 해리정수를 측정고, 복합체 형성은 내공의 크기에 의하여 영향 받으며 소수면적을 증대시키면 복합체 형성이

-CH₃). MS m/z: 508.0(M⁺), 353, 198. 원소 분석 calcd. for C₂₆H₂₄N₂O₅S₂: C; 61.40, H; 4.76, N; 5.51, found: C; 61.56, H; 4.71, N; 5.46. TLC(silica gel 60 F₂₅₄; AcOEt: Et₂O: Acetone: CHCl₃=5:15:30:80) Rf 0.507, 또 AcOEt: Et₂O: CHCl₃=5:15:80에서 Rf 0.223, UV(λ_{max}, CHCl₃):247 nm (ε_{max} 21,050). lit; mp. 179-180°(from aq. EtOH)⁴⁸.

N, N', N'', N'''-Tetratosyl-1, 5, 19, 23-tetraaza-12, 30-dioxa[5.1.5.1]paracyclophane의 합성(2)

1 9.15g(0.018 M) 및 1, 3-dibromopropane 3.63g(0.018 M)을 무수 DMF 200 ml에 녹이고 이 액을 무수 K₂CO₃ 12.46g(0.09 M)을 함유한 DMF 250 ml에 교반하면서 외온 105°C에서 계속적으로 8시간에 걸쳐 적하하였다. 실온에서 약 15시간 교반하고 반응액에 포화 NaCl액 1 l 및 10% 염산 0.3 l를 넣고 AcOEt 1 l씩으로 2회 추출하였다. 유기층은 포화 NaCl액 1 l, 50% 포화 NaCl액 1 l의 순으로 씻고 무수 MgSO₄로 탈수하고 여과하였다. 감압하 소용량으로 농축하고 잔사에 CHCl₃ 50 ml를 넣어 가온하여 녹이고 실온에 방치하여 생성된 결정을 여취하고 빙냉 CHCl₃로 수회 씻어 순수한 백색 결정을 얻었다. 이를 P₂O₅ 존재하에서 80°C에서 9시간 감압 건조하였다.

수율 2.82 gm(29%). mp. 242-244°C(분해). IR ν_{max}^{KBr} cm⁻¹: 1592, 1490(ν arom.), 1342(ν_{as} SO₂), 1158(ν_s SO₂), 811(δ arom.). NMR(80 MHz FT 50 cycles, CDCl₃/TMS) δ (ppm): 7.38(8H, d, J=8 Hz, -SO₂-o-PhH-CH₃), 7.17(8H, d, J=8 Hz, -SO₂-m-PhH-CH₃), 6.63(16H, s, -O-PhH-N), 3.53(8H, t, -N-CH₂-), 2.37(12H, s, -Ph-CH₃), 1.48(4H, br, -N-CH₂-CH₂-CH₂-N-). MS m/z: 536, 476(M⁺ 1097은 관측되지 않았다). 원소분석 calcd. for C₅₈H₅₆N₄O₁₀S₄: C; 63.48, H; 5.14, N; 5.11, found: C; 63.18, H; 5.08, N; 5.17. TLC(silica gel 60 F₂₅₄, CHCl₃: AcOEt=94:6) Rf 0.50. UV(λ_{max}, CHCl₃): 248 nm (ε_{max} 52,500).

N, N', N'', N'''-Tetratosyl-1, 6, 20, 25-tetraaza-13, 32-dioxa[6.1.6.1]paracyclo-

phane의 합성(3)

1 6.10g(0.012 M) 및 1, 4-dibromobutane 2.6g(0.012 M)을 무수 DMF 200 ml에 녹이고 2의 제법과 같게 조작하여 얻은 잔사에 CHCl₃ 40 ml를 넣어 가온하여 녹이고 냉장고에 방치하여 얻은 침전물을 여취하고 빙냉 CHCl₃로 수회 씻고 이를 CHCl₃ 5 ml에 가온하여 녹이고 칼람 크로마토그래피(Kiesel guhr 60, 0.063-0.20 mm, CHCl₃: AcOEt=94:6)에 의해 목적물을 함유한 유출액을 AcOEt를 가하면서 감압농축하고 P₂O₅ 존재하 80°C에서 9시간 진공건조하여 백색 결정을 얻었다.

수율 1.22 gm(18%). mp. 277.5-279.5°C(분해). IR ν_{max}^{KBr} cm⁻¹: 1594, 1492(ν arom.), 1342(ν_{as} SO₂), 1160(ν_s SO₂), 817(δ arom.). NMR(80 MHz FT 300 cycles, acetone-d₆/TMS) δ(ppm): 7.44(8H, d, J=8 Hz, -SO₂-o-PhH-CH₃), 7.36(8H, d, J=8 Hz, -SO₂-m-PhH-CH₃), 6.92(16H, s, -O-PhH-N), 3.61(8H, br, -N-CH₂-), 2.42(12H, s, -Ph-CH₃), 1.48(8H, br, -N-CH₂-CH₂-CH₂-CH₂-N-). MS m/z: 504.9(M⁺ 1125는 관측되지 않았다). 원소분석 calcd. for C₆₀H₆₀N₄O₁₀S₄: C; 64.04, H; 5.37, N; 4.98, found: C; 64.33, H; 5.44, N; 4.92. TLC(silica gel 60 F₂₅₄, CHCl₃: AcOEt=94.6) Rf 0.51. UV(λ_{max}, CHCl₃): 248.5 nm (ε_{max} 49,200).

N, N', N'', N'''-Tetratosyl-1, 7, 21, 27-tetraaza-14, 34-dioxa[7.1.7.1]paracyclophane의 합성(4)

1 6.10g(0.012 M) 및 1, 5-dibromopentane 2.76g(0.012 M)을 무수 DMF 200 ml에 녹이고 3의 제법과 같게 조작하여 얻은 농축잔사에 아세톤·물 혼합액(97:3) 50 ml를 넣어 가온하여 녹이고 냉장고에 방치하여 생성된 침전물을 여취하고 빙냉 아세톤으로 씻었다. 이를 소량의 CHCl₃에 녹이고 3의 제법에서와 같이 정제, 건조하여 백색의 순물질을 얻었다.

수율 1.18g(17%). mp. 258-259°C(분해). IR ν_{max}^{KBr} cm⁻¹: 1600, 1492(ν arom.) 1339(ν_{as} SO₂), 1152(ν_s SO₂), 811(δ arom.). NMR

(90 MHz, CDCl₃/TMS) δ (ppm) : 7.42(8H, d, J=8Hz, -SO₂-*o*-PhH-CH₃), 7.22(8H, d, J=8Hz, -SO₂-*m*-PhH-CH₂), 6.87(16H, s, -O-PhH-N-), 3.43(8H, br, -N-CH₂-), 2.38(12H, s, -Ph-CH₃), 1.32(12H, br, -CH₂-CH₂-CH₂-CH₂-N-). MS m/z : 504.9(M⁺ 1153은 관측되지 않았다). 원소분석 calcd. for C₆₂H₆₄N₄O₁₀S₄ : C ; 64.56, H ; 5.59, N ; 4.86, found : C ; 64.33, H ; 5.44, N ; 4.72. TLC(silica gel 60 F₂₅₄, CHCl₃ : AcOEt=94:6) Rf 0.51. UV(λ_{max} , CHCl₃) : 247 nm (ϵ_{max} 50,000).

N, N', N'', N'''-Tetraosyl-1, 8, 22, 29-tetraaza-15, 36-dioxa[8.1.8.1]paracyclophane의 합성(5)

1 6.10g(0.012M) 및 1,6-dibromohexane 2.93g(0.012M)을 무수 DMF 200ml에 녹이고 3의 제법과 같게 조작하여 얻은 농축잔사에 아세톤 50ml를 넣어 녹이고 방치하여 얻은 백색 침전물을 소량의 CHCl₃에 녹이고 3의 제법에서와 같이 정제, 건조하여 백색의 순물질을 얻었다.

수율 1.42 gm(20%). mp. 256-257°C(분해). IR ν_{max}^{KBr} cm⁻¹ : 1606, 1500(ν arom.), 1350(ν_{as} SO₂), 1161(ν_s SO₂), 819(δ arom.). NMR(80 MHz FT, CDCl₃/TMS) δ (ppm) : 7.40(8H, d, J=8Hz, -SO₂-*o*-PhH-CH₃), 7.17(8H, d, J=8Hz, -SO₂-*m*-PhH-CH₃), 6.85(16H, s, -O-PhH-N), 3.39(8H, br, -N-CH₂-), 2.35(12H, s, -Ph-CH₃), 1.23(16H, br, -N-CH₂-CH₂-CH₂-CH₂-CH₂-CH₂-N-). MS m/z : 160(M⁺ 1182는 관측되지 않았다). 원소분석 calcd. for C₆₄H₆₈N₄O₁₀S₄ : C ; 65.06, H ; 5.80, N ; 4.74, found : C ; 66.34, H ; 5.89, N ; 4.68. TLC(silica gel 60 F₂₅₄, CHCl₃ : AcOEt=94:6) Rf 0.55. UV(λ_{max} , CHCl₃) : 248 nm (ϵ_{max} 47,600).

1, 5, 19, 23-Tetraaza-12, 30-dioxa[5.1.5.1]paracyclophane의 합성(6)

2 5.62g(5.12 mM), 47% HBr 90ml(0.8 M) 및 페놀 12g(0.128 M)의 혼합물을 130°C에서 2시간 환류시키고 방냉후 반응액에 물 200ml를 넣고 에틸 200ml씩으로 2회 씻었다. 수층을 거의

취한 다음 물 30ml를 에틸층에 넣어 계면에 석출된 고체를 녹이고 수층과 합하여 이것에 수산화나트륨을 조심스럽게 넣어 녹이면서 pH 값을 11 이상으로 하였다. 석출된 고체를 CH₂Cl₂ 250ml씩으로 2회 추출하여 유기층을 합하고 5% 수산화나트륨액 200ml, 물 200ml×2, 포화 NaCl액 200ml의 순으로 씻고 무수 MgSO₄로 탈수시켜 감압 농축하여 약 150ml로 하고 이로부터 결정화하였다. 100°C에서 8시간 진공 건조하여 백색의 결정을 얻었다.

수율 1.67 gm(68%). mp. 210-213°C(분해). IR ν_{max}^{KBr} cm⁻¹ : 3395, 3362(ν NH), 1608, 1490(ν arom.), 1220, 1112(ν CN), 833(δ arom.). NMR(80 MHz FT 50 cycles, CDCl₃/TMS) δ (ppm) : 6.71(8H, d, J=8Hz, -O-*o*-PhH-NH-), 6.40(8H, d, J=8Hz, -O-*m*-PhH-NH-), 3.34(4H, s, -N-CH₂-), 3.20(4H, d, -N-CH₂-), 2.30(4H, br, -NH), 1.85(4H, br, -N-CH₂-CH₂-CH₂-N). MS m/z : 480(M⁺), 280, 253, 240. 원소분석 calcd. for C₃₀H₃₂N₄O₂ : C ; 74.97, H ; 6.71, N ; 11.66, found : C ; 74.75, H ; 6.82, N ; 11.53. TLC(silica gel 60 F₂₅₄, AcOEt : Et₂O : CHCl₃=5 : 15 : 80) Rf 0.02. UV(λ_{max} , CHCl₃) : 253 nm (ϵ_{max} 33,100), 310 nm (ϵ_{max} 7,400).

1, 6, 20, 25-Tetraaza-13, 32-dioxa[6.1.6.1]paracyclophane의 합성(7)

3 4.92g(4.37 mM), 47% HBr 77ml(0.68 M) 및 페놀 10.2g(0.11 M)의 혼합물을 130°C에서 2시간 환류시키고 6의 제법과 같게 조작하여 백색의 결정을 얻었다.

수율 1.35 gm(61%). mp. 220-222°C(분해). IR ν_{max}^{KBr} cm⁻¹ : 3400(ν NH) 1614, 1498(ν arom.), 1120, 1122(ν CN), 817(δ arom.). NMR(80 MHz FT 50 cycles, CDCl₃/TMS) δ (ppm) : 6.74(8H, d, J=8Hz, *o*-PhH-N), 6.37(8H, d, J=8Hz, -*m*-PhH-N), 3.19(8H, br, N-CH₂-), 2.43(4H, br, -NH), 1.75(8H, br, -N-CH₂-CH₂-CH₂-CH₂-N-). MS m/z : 508(M⁺), 307, 267. 원소분석 calcd. for C₃₂H₃₆N₄O₂ : C ; 75.56, H ; 7.13, N ; 11.01,

found: C; 75.77, H; 7.02, N; 10.96. TLC(silica gel 60 F₂₅₄, AcOEt:Et₂O:CHCl₃=5:15:80) Rf 0.084. UV(λ_{\max} , CHCl₃): 259 nm(ϵ_{\max} 46,700).

1, 7, 21, 27-Tetraaza-14, 34-dioxa[7.1.7.1]paracyclophane의 합성(8)

4 4.94g(4.28 mM), 47% HBr 75 ml(0.67 M) 및 페놀 10g(0.107 M)을 취하여 6의 제법과 함께 조작하여 백색 결정을 얻었다.

수율 1.33 gm(58%). mp. 181~183°C(분해). IR ν_{\max}^{KBr} cm⁻¹: 3395(ν NH), 1613, 1498(ν arom.), 1220, 1120(ν CN), 817(δ arom.). NMR(80 MHz FT 50 cycles, CDCl₃/TMS) δ (ppm): 6.74(8H, d, J=8Hz, -O-o-PhH-NH-), 6.41(8H, d, J=8Hz, O-m-PhH-NH-), 3.12(4H, br, -NH), 3.0(8H, br, -NH-CH₂-), 1.47(12H, br, -NH-CH₂-CH₂-CH₂-CH₂-NH-). MS m/z: 536(M⁺), 281. 원소분석 calcd. for C₃₄H₄₀N₄O₂: 76.09, H; 7.51, N; 10.44, found: C; 76.19, H; 7.58, N; 10.41. TLC(silica gel 60 F₂₅₄, AcOEt:Et₂O:CHCl₃=5:15:80) Rf 0.084. UV(λ_{\max} , CHCl₃): 254 nm(ϵ_{\max} 41,200), 310 nm(ϵ_{\max} 7,200).

1, 8, 22, 29-Tetraaza-15, 36-dioxa[8.1.8.1]paracyclophane의 합성(9)

5 4.54g(3.84 mM), 47% HBr 68 ml(0.61 M) 및 페놀 9g(0.096 M)을 취하여 6의 제법과 함께 조작하여 백색 결정을 얻었다.

수율 1.35 gm(62%). mp. 171~173°C(분해). IR ν_{\max}^{KBr} cm⁻¹: 3415(ν NH), 1615, 1503(ν arom.), 1221, 1106(ν CN), 821(δ arom.). NMR(80 MHz FT 50 cycles, CDCl₃/TMS) δ (ppm): 6.77(8H, d, J=8Hz, -O-o-PhH-NH-), 6.46(8H, d, J=8Hz, -O-m-PhH-NH-), 3.15(4H, br, -NH), 3.02(8H, br, -NH-CH₂-), 1.45(16H, br, -NH-CH₂-CH₂-CH₂-CH₂-NH-). MS m/z: 564(M⁺), 476, 283. 원소분석 calcd. for C₃₆H₄₄N₄O₂: C; 76.56, H; 7.85, N; 9.92, found: C; 76.02, H; 7.66, N; 9.79. TLC(silica gel 60 F₂₅₄, AcOEt:Et₂O:CHCl₃=

5:15:80) Rf 0.164. UV(λ_{\max} , CHCl₃): 253 nm(ϵ_{\max} 40,600), 310 nm(ϵ_{\max} 7,000).

N, N'-Ditosyl-4, 4'-dimethylaminodiphenyl ether의 합성(10)

1 12.2g(24 mM) 및 무수 K₂CO₃ 16.6g(0.12 M)을 무수 DMF 150 ml에 용해 분산시키고 CH₃I 8.18g(57.6 mM)을 무수 DMF 100 ml에 녹인 액을 교반시키면서 38~40°C에서 1시간에 걸쳐 적하하였다. 반응액에 포화 NaCl액 1l를 넣어 섞고 AcOEt 1l씩으로 2회 추출하고 유기층을 포화 NaCl액 1l, 50% 포화 NaCl액 1l 및 포화 NaCl액 1l의 순으로 씻고 무수 MgSO₄로 탈수, 여과하였다. 이를 감압 농축하고 잔사에 아세톤을 넣어 녹이고 2회 재결정하여 빙냉 아세톤으로 씻고 60°C에서 5시간 진공건조하여 백색 결정을 얻었다.

수율 11.08 gm(86%). mp. 154~156°C. IR ν_{\max}^{KBr} cm⁻¹: 1594, 1492(ν arom.), 1348(ν_{as} SO₂), 1171(ν_{s} SO₂), 818(δ arom.). NMR(80 MHz FT, CDCl₃/TMS) δ (ppm): 7.41(4H, d, J=8Hz, -SO₂-o-PhH-CH₃), 7.19(4H, d, J=8Hz, -SO₂-m-PhH-CH₃), 7.00(4H, d, J=8Hz, -O-o-PhH-N), 6.84(4H, d, J=8Hz, O-m-PhH-N), 3.09(6H, s, N-CH₃), 2.36(6H, s, -Ph-CH₃). MS m/z: 536(M⁺), 225. 원소분석 calcd. for C₂₈H₂₈N₂O₅S₂: C; 62.67, H; 5.26, N; 5.22, found: C; 62.39, H; 5.04, N; 5.18. TLC(silica gel 60 F₂₅₄, CHCl₃:AcOEt=94:6) Rf 0.61. UV(λ_{\max} , CHCl₃): 246.5 nm(ϵ_{\max} 23,600).

4, 4'-Dimethylaminodiphenyl ether의 합성(11)

10 5.4g(10.06 mM), 47% HBr 154 ml(1.37 M) 및 페놀 11.78g(0.126 M)의 혼합물을 130°C에서 교반하여 2시간 환류시키고 6의 제법과 같이 조작하여 감압농축하고 잔사에 에틸을 넣어 녹인 다음 2회 재결정하여 40°C에서 5시간 진공 건조하여 회백색 판상 결정을 얻었다.

수율 1.84 gm(80%). mp. 89.5~91.0°C. IR ν_{\max}^{KBr} cm⁻¹: 3354(ν NH), 1617, 1495(ν arom.), 1214, 1148(ν CN), 821(δ arom.).

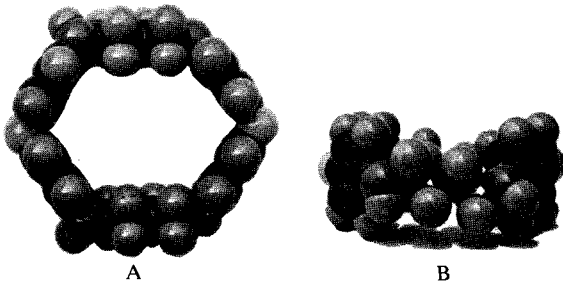


Figure 1—Fisher-Hirschfelder-Taylor space filling molecular model of compound **7** from the top(A) and the side (B).

Table I—Approximate Estimation of the Dimension of Hydrophobic Cavities of Various Cyclophanes with Space Filling Molecular Model.^{a)}

Cyclophane	Dimension ^{b)} of Internal Cavity, Å		
	Length	Width	Depth
6	6.8-7.7	5.2-6.2	4.3-6.5
7	7.2-9.0	5.0-7.0	4.3-6.5
8	8.2-10.5	4.0-7.5	4.3-6.5
9	8.5-11.5	3.5-8.0	4.3-6.5

^{a)}Fisher-Hirschfelder-Taylor atom model kits were used as the space filling molecular model.

^{b)}The dimension of internal cavities was measured on the basis of face conformation of paracyclophane.

NMR(80 MHz FT 50 cycles, CDCl₃/TMS) δ (ppm) : 6.82(4H, d, J=8Hz, -*o*-PhH-), 6.51(4H, d, J=8Hz, -*m*-PhH-), 3.16(2H, br, -NH), 2.80(6H, s, -N-CH₃). MS m/z : 228(M⁺), 199, 122. 원소분석 calcd. for C₁₄H₁₆H₂O : C ; 73.66, H ; 7.06, N ; 12.27, found : C ; 73.35, H ; 7.24, N ; 12.04. TLC (silica gel 60 F₂₅₄, AcOEt : Et₂O : CHCl₃ = 5 : 15 : 80) R_f 0.30. UV(λ_{max} , CHCl₃) : 256 nm(ϵ_{max} 21, 200), 310 nm(ϵ_{max} 3, 900).

실험결과 및 고찰

수용성 Paracyclophane의 설계

본 연구에서 검토한 diphenyl ether을 골격으로 하는 수용성 paracyclophane의 특징은 diphenylmethane 골격의 PC와 같이 아민염으로서 물에 가용성이며, 4개의 벤젠환이 모두 diphenyl



Figure 2—Schematic representations showing benzene and naphthalene included in hydrophobic cavity.

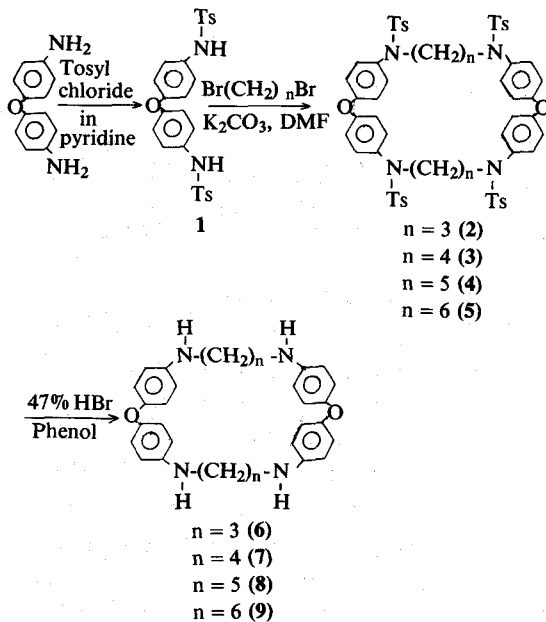
ether 골격에 들어 있고 이들 골격이 환의 양측에 2개가 배치되어 있기 때문에 꽤 일정한 형과 크기의 소수내공이 형성될 수 있다는 점이다. **7**의 space filling 분자모델의 정면과 측면의 사진을 Fig. 1에 나타낸다. 이에서 보는 바와 같이 face conformation⁴³⁾을 취한 경우 일정한 형과 깊이가 있는 PC가 형성됨을 알 수 있다. 이들 PC류가 face conformation을 취할 경우 Table I에서와 같이 methylene unit의 수의 증가에 따라 내공의 크기가 커지며 **8**의 경우 길이 8.2~10.5 Å, 넓이 4.0~7.5 Å, 깊이 ~6.5 Å의 내공이 형성된다. 이는 벤젠환 또는 나프탈렌환을 종적으로 포접하기에 충분한 크기임이 예상된다(Fig. 2). 또 하나의 특징은 이들 PC류는 methylene unit의 수를 변화시킴으로써 내공의 형과 크기를 쉽게 변화시킬 수 있고 더욱 질소원자 부분에 치환기를 도입하여 화학적 수식을 가할 수 있다.

이러한 여러가지 중요한 특징을 갖는 이들 수용성 PC류는 인공적 host 화합물이 가지고 있는 2가지의 중요한 조건, 즉 일정한 구조의 기질포접의場 및 구조변환·화학수식의 용이성을 겸비하고 있다고 생각된다.

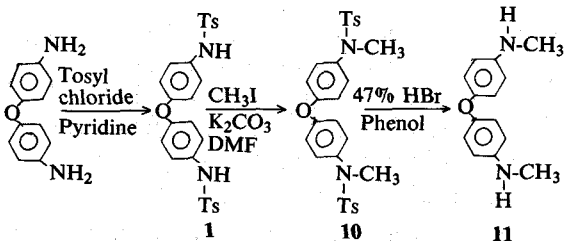
합성

본 연구에서 diphenyl ether 골격의 수용성 PC류의 합성은 Stetter 등¹¹⁾이 bis-[N,N'-alkylenebenzidine을 합성하였을 때의 방법으로 Scheme 2에서와 같이 Odashima 등의 방법^{43,45)}을 적용하여 만들었다. 또 본 PC류의 비환상 대조 화합물인 **11**은 Stetter 등¹¹⁾ 및 Braun⁴⁹⁾이 사용한 방법을 약간 변경하여 합성하였다(Scheme 3).

환상 화합물인 tetratosyl체는 어느 정도 이상 순수해지면 CH₂Cl₂ 또는 CHCl₃에는 미량 녹지만 DMSO 및 DMF를 포함하는 다른 유기용매에는



Scheme 2—Synthetic route for polyparacyclophanes containing diphenyl ether skeletons.



Scheme 3—Synthetic route for acyclic body containing diphenyl ether skeleton.

극히 난용성이었다. 칼람크로마토그래피에 의하여 이를 정제하기 위해서는 먼저 tetratosyl체를 그대로 CHCl_3 에 용해 또는 분산시켜 loading하고 $\text{CHCl}_3 \cdot \text{AcOEt}$ 혼합액 (96:4)으로 계속 유출시켜 목적하는 부분을 취하였다. 3은 CHCl_3 로부터 재결정에 의한 정제가 가능하였다. 또 2는 추출 농축액에 CHCl_3 를 넣어 녹이고 방치할 때 1시간 이내에 백색 결정이 석출하였는데 이는 CHCl_3 가 2와 매우 선택적으로 복합체를 형성하여 다른 불순물로부터 깨끗하게 분리되는 것으로 생각되어 분자량이 작은 지방족 화합물과의 host-guest 상호작용에 관한 연구가 기대된다.

결국 tetratosyl체는 수율이 낮고 취급하기가 나

쁘지만 결과적으로 diphenyl ether을 골격으로 하는 수용성 PC인 6, 7, 8 및 9를 각각 전수율 16, 9, 8 및 10%로 얻을 수 있었다.

이들 PC류의 구조는 IR, ^1H NMR 및 원소분석에 의하여 확인되었지만 특히 그 환구조는 6, 7, 8 및 9의 그 자체의 질량스펙트라로부터 각각 M^+ 480, M^+ 508, M^+ 536 및 M^+ 564에 의하여 확인되었다. 또한 합성 중간체인 1, 10 및 각 tetratosyl체와 비환상 대조화합물인 11도 모두 만족한 IR, ^1H NMR 및 원소분석 결과를 보여 주었다.

문 헌

- 1) 御船 昭, 島 淳之, 有機合成化学, **35**, 116 (1977)
- 2) W. Saenger, *Angew. Chem. Int. Ed. Engl.*, **19**, 344 (1980)
- 3) K. Uekama, *Yakugaku Zasshi*, **101**, 857 (1981)
- 4) 上釜兼人, *フラグラン스ジャーナル*, No. 63, 68 (1983).
- 5) 上釜兼人, 入江徹美, *製薬工場*, **5**, 20 (1985)
- 6) D. Duchene, C. Vaution and F. Glomot, *Drug Dev. Ind. Pharm.*, **12**, 2193 (1986)
- 7) 전인구, 시클로덱스트린의 의약품제제에의 응용, in *의약품 첨가제와 제제개발*, 한국약제학회, 1988, pp. 41-85
- 8) E.P. Kyba, R.C. Helgeson, K. Madan, G.W. Kogel, T.L. Tarnowski, S.S. Moor and D.J. Cram, *J. Am. Chem. Soc.*, **99**, 2564 (1977)
- 9) 小田嶋和徳, 古賀憲司, in “ホスト-ゲストの化学”, 長哲郎編, 三共出版, 1979, pp. 133-173
- 10) R. Hershfield and M.L. Bender, *J. Am. Chem. Soc.*, **94**, 1376 (1972)
- 11) H. Stetter and E.E. Roos, *Chem. Ber.*, **88**, 1390 (1955)
- 12) G. Wittig, P. Börzel, F. Neumann and G. Klar, *Am. Chem.*, **691**, 109 (1966)
- 13) Von G. Faust and M. Palas, *J. Prakt. Chem.*, **11**, 146 (1960)
- 14) F. Bottino, S. Foti and S. Pappalardo,

- Tetrahedron*, **32**, 2567 (1976)
- 15) C. Sergheraert, P. Marcincal and E. Cuingnet, *Tetrahedron Lett.*, 4785 (1978)
 - 16) C.M. Deber, V. Madison and E.R. Blout, *Acc. Chem. Res.*, **9**, 106 (1976)
 - 17) T. Sugihara, Y. Imanishi, T. Higashimura and Y. Shimounishi, *J. Org. Chem.*, **41**, 2584 (1976)
 - 18) Y. Murakami, A. Nakano, K. Matsumoto and K. Iwamoto, *Bull. Chem. Soc. Jpn.*, **51**, 1690 (1978)
 - 19) D.J. Cram and J.M. Cram, *Acc. Chem. Res.*, **11**, 8 (1978)
 - 20) J.M. Lehn, *ibid.*, **11**, 49 (1978)
 - 21) 庄野利之, 柳田祥三, 木村惠一, “クラウンエーテルとクリプタンドの 化学”, 化学同人 (1979)
 - 22) J. Emert and R. Breslow, *J. Am. Chem. Soc.*, **97**, 670 (1975)
 - 23) I. Tabushi, K. Shimokawa, N. Shimizu, H. Shirakata and K. Fujita, *ibid.*, **98**, 7855 (1976)
 - 24) I. Tabushi, N. Shimizu, T. Sugimoto, M. Shiozuka and K. Yamamura, *ibid.*, **99**, 7100 (1977)
 - 25) D.J. Cram and H. Steinberg, *ibid.*, **73**, 5691 (1951)
 - 26) T. Inazu and T. Yoshino, *Bull. Chem. Soc. Jpn.*, **41**, 647 (1968)
 - 27) *Idem.*, *ibid.*, **41**, 652 (1968)
 - 28) T. Kawato, T. Inazu, and T. Yoshino, *ibid.*, **44**, 200 (1971)
 - 29) Y. Urushigawa, T. Inazu and T. Yoshino, *ibid.*, **44**, 2546 (1971)
 - 30) R. Nagano, J. Nishikido, T. Inazu and T. Yoshino, *ibid.*, **46**, 653 (1973)
 - 31) I. Tabushi, H. Yamada, Z. Yoshida and R. Oda, *Tetrahedron*, **27**, 4845 (1971)
 - 32) I. Tabushi, H. Yamada and Y. Kuroda, *J. Org. Chem.*, **40**, 1946 (1975)
 - 33) I. Tabushi and H. Yamada, *Tetrahedron*, **33**, 1101 (1977)
 - 34) I. Tabushi, H. Sasaki and Y. Kuroda, *J. Am. Chem. Soc.*, **98**, 5727 (1976)
 - 35) I. Tabushi, Y. Kimura and K. Yamamura, *ibid.*, **100**, 1304 (1978)
 - 36) Y. Murakami, Y. Aoyama, M. Kida and A. Nakano, *Bull. Chem. Soc. Jpn.*, **50**, 3365 (1977)
 - 37) Y. Murakami, Y. Aoyama, M. Kida and J. Kikuchi, *J.C.S. Chem. Comm.*, 494, (1978)
 - 38) Y. Murakami, Y. Aoyama, M. Kida, A. Nakano, K. Dobashi, C.D. Tran and Y. Matsuda, *J.C.S. Perkin I*, 1560 (1979)
 - 39) Y. Murakami, A. Nakano, R. Miyata and Y. Matsuda, *ibid.*, 1669 (1979)
 - 40) J. Sunamoto, H. Kondo, H. Okamoto and K. Taira, *Bioorg. Chem.*, **6**, 95 (1977)
 - 41) C. Hansch, *J. Org. Chem.*, **43**, 4889 (1978)
 - 42) 田伏岩父, 黒田裕久, 觸媒, **16**, 170 (1974)
 - 43) K. Odashima, A. Itai, Y. Iitaka and K. Koga, *J. Am. Chem. Soc.*, **102**, 2504 (1980)
 - 44) K. Odashima, A. Itai, Y. Iitaka, Y. Arata and K. Koga, *Tetrahedron Lett.*, **21**, 4347 (1980)
 - 45) T. Soga, K. Odashima and K. Koga, *ibid.*, **21**, 4351 (1980)
 - 46) K. Odashima, T. Soga and K. Koga, *ibid.*, **22**, 5311 (1981)
 - 47) F. Diederich and K. Dick, *ibid.*, **23**, 3167 (1982)
 - 48) F.E. Ray and L. Soffer, *J. Org. Chem.*, **15**, 1037 (1950)
 - 49) J.V. Braun, *Ber.*, **41**, 2145 (1908)